

# ارزیابی اثر پلاسمای غنی از پلاکت انسان بر اسپرما توژن و تراکم کروماتین اسپرم موش سوری به دنبال آسیب ایسکمی-ریپرفیوژن ناشی از پیچش طناب اسپرماتیک

محیا رمش<sup>۱</sup>، فرناز خدیوی<sup>۲\*</sup>

## مقاله پژوهشی

**مقدمه:** پیچش طناب اسپرماتیک از طریق ایجاد آسیب ایسکمی- ریپرفیوژن منجر به اختلال در عملکرد بیضه، مرگ سلول‌های زایا، تولید گونه‌های فعال اکسیژن و ناباروری می‌گردد. پلاسمای غنی از پلاکت (PRP) سرشار فاکتورهای رشد و سیتوکین‌های ضد التهابی می‌باشد. در این تحقیق اثرات PRP بر روی اسپرما توژن و تراکم کروماتین اسپرم به دنبال آسیب ایسکمی ریپرفیوژن ارزیابی شد.

**روش بورسی:** ۴۰ سر موش سوری نر بالغ به شرح زیر وارد مطالعه شدند. گروه کنترل، گروه پیچش/وابیچش، گروه کنترل منفی که جراحی پیچش/وابیچش همراه با تزریق محیط کشت به داخل بیضه انجام شد، گروه درمان که جراحی پیچش/وابیچش همراه با تزریق PRP در این گروه انجام گرفت. بعد از گذشت یک سیکل اسپرما توژن، بررسی‌های هیستومورفومتری با رنگ‌آمیزی PAS و ارزیابی تراکم کروماتین اسپرم به کمک رنگ‌آمیزی آنیلین بلو صورت گرفت. داده‌ها توسط نرم‌افزار SPSS version 16 و آزمون آماری ANOVA و تست تعقیبی توکی آنالیز شدند.

**نتایج:** میانگین تعداد سلول‌های اسپرماتوژنیک، سرتولی، لیدیگ، میوئید، نمره جانسون، میانگین قطر و ضخامت اپی‌تیلیوم زایا به دنبال آسیب ایسکمی- ریپرفیوژن به صورت معنی‌داری کاهش یافت. میانگین ضخامت غشای پایه لوله‌های سمینی فروس و هم‌چنین درصد اسپرم‌های دارای هیستون اضافه به دنبال آسیب ایسکمی ریپرفیوژن افزایش یافت ( $P < 0.001$ ). پس از درمان با PRP، بهبودی قابل توجهی در ساختار بافتی لوله‌ها، زنده‌مانی سلول‌ها و تراکم کروماتین اسپرم یافت شد در حالیکه هم چنان تفاوت معناداری در مقایسه با گروه کنترل مشاهده گردید ( $P < 0.001$ ).

**نتیجه‌گیری:** PRP با دارا بودن فاکتورهای رشد و سیتوکین‌های ضد التهابی دخیل در رگزایی و عملکرد آنتی‌اکسیدانی قادر است عوارض ناشی از آسیب ایسکمی- ریپرفیوژن را به‌طور نسبی بهبود بخشد.

**واژه‌های کلیدی:** پیچش طناب اسپرماتیک، پلاسمای غنی از پلاکت، اسپرما توژن، آسیب ایسکمی- ریپرفیوژن، کروماتین

**ارجاع:** رمش محیا، خدیوی فرناز، ارزیابی اثر پلاسمای غنی از پلاکت انسان بر اسپرما توژن و تراکم کروماتین اسپرم موش سوری به دنبال آسیب ایسکمی- ریپرفیوژن ناشی از پیچش طناب اسپرماتیک. مجله علمی پژوهشی دانشگاه علوم پزشکی شهید صدوقی بزد ۱۴۰۱؛ ۳۰(۱۲): ۴۲۱۱-۲۲.

۱- گروه علوم تشریع، دانشکده پزشکی، دانشگاه علوم پزشکی تهران، تهران، ایران.

۲- گروه علوم تشریع، دانشکده پزشکی، دانشگاه علوم پزشکی شهرکرد، شهرکرد، ایران.

\* (نویسنده مسئول): تلفن: ۰۹۱۲۰۴۶۱۳۷۲، پست الکترونیکی: farnazkhadivi031@gmail.com، صندوق پستی: ۸۸۷۱۷۷۳۳۹۹.

## مقدمه

هستهای میباشند که دارای سه نوع گرانول داخلی به نام گرانول متراکم، لیزوژوم و گرانول های آلفا هستند. این گرانول ها اساس عملکرد پلاکتها را تشکیل می دهند (۱۵). گرانول های آلفا که قسمت عمده ترشحات پلاکت را به خود اختصاص می دهند دارای فاکتورهای مهمی نظیر فاکتورهای رشد آندوتیال عروقی، آنژیوژنین و فاکتورهای رشد مختلف مانند فاکتور رشد مشتق از پلاکت، فاکتور رشد اپیدرمی، فاکتور رشد شبه انسولینی و فاکتور رشد تغییر شکل دهنده بتا می باشند (۱۶-۱۸). پلامسای غنی از پلاکت (PRP)، یک عامل اتو لوگ مشتق شده از خون انسان و حیوان است که غنی از پلاکت، فاکتورهای رشد تکثیری، کموتاکتیک، سیتوکین ها، هورمون ها، فیبرین، فیبرونکتین وغیره است. این محصول خونی منجر به کاهش استرس اکسیداتیو، رادیکال های آزاد و افزایش بیان آنزیم های آنتی اکسیدانی می شود (۱۹). بر اساس مطالعه پیشین استفاده از PRP منجر به کاهش آپوپتوز سلول های زیاد افزایش میزان فعالیت آنزیم های آنتی اکسیدانی پس از آسیب ایسکمی / ریپرفیوژن بیضه موش صحرایی گردیده است (۲۰). همچنین PRP منجر به بهبودی پارامترهای اسپرمی و ساختار بافتی بیضه موش صحرایی به دنبال تزریق بوسولفان گشت (۲۱). در مطالعات اخیر اثرات PRP بر ناباروری مورد ارزیابی قرار گرفته است و نتایج نشان دادند که PRP در بازسازی بافت، رگ زایی، مهاجرت سلولی، تکثیر و تمایز سلول های بنیادی، کاهش سطح استرس اکسیداتیو، آسیب DNA اسپرم و بهبودی پارامترهای اسپرم نقش دارد (۲۲-۲۴). پیچش طناب اسپرماتیک یکی از اورژانس های اورولوژیک به شمار می رود که تنها با عمل جراحی واپیچش قابل اصلاح است. آسیب ایسکمی / ریپرفیوژن ناشی از پیچش / واپیچش طناب اسپرماتیک با افزایش سطح استرس اکسیداتیو و القا ROS منجر به آپوپتوز سلول های رده اسپرماتوژنیک و اختلال در فرآیند اسپرماتوژن می شود. با توجه به حضور فاکتورهای رشد، پروتئین ها و سایتوکین های متعدد موجود در PRP به عنوان یکی از مشتقات خونی در دسترس و با نظر به مشکلات روزافزون ناباروری، در این پژوهش اثر تزریق داخل بافت بیضه ای PRP بر ساختار هیستومورفومتری لوله های سمینی

پیچش بیضه یک اختلال اورژانسی است که ۱ نفر از هر ۴۰۰۰ مرد زیر ۲۵ سال را درگیر می کند (۱). تظاهرات آن در مردان بالغ به صورت درد حاد یک طرفه همراه با حالت تهوع و استفراغ است (۲). این بیماری به دلیل پیچ خوردن بیضه حول محور عمودی طناب اسپرماتیک رخ می دهد (۳). به دنبال این پیچ خوردن بیضه گردش خون بیضه مختل گشته و در نهایت منجر به ادم، ایسکمی و آتروفی بیضه می شود (۴,۵). دو عامل مهم در تعیین زندehمانی و عملکرد اسپرم، مدت زمان و شدت پیچش بیضه می باشند (۶). تنها راه کاهش میزان اختلال عملکرد دائمی بیضه، انجام جراحی اورژانسی واپیچش است (۱). این جراحی که به منظور بازگرداندن جریان خون به بیضه ایسکمیک صورت می گیرد، منجر به ایجاد آسیب ریپرفیوژن می شود (۷). این آسیب باعث القا استرس اکسیداتیو، ایجاد پاسخ های التهابی، آپوپتوز سلول های زیاد و در نهایت اختلال در فرآیند اسپرماتوژن می گردد (۸,۹). اسپرماتوژن در داخل اپیتیلیوم لوله های سمینی فروس بیضه اتفاق می افتد و در نهایت از طریق مجموعه ای از وقایع تکثیری و تمایزی منجر به تولید اسپرم بالغ می گردد. مدت زمان این فرآیند در مosh سوری ۳۵ روز می باشد (۱۰). اسپرماتوگونی های As (single) به عنوان سلول های بنیادی اسپرماتوگونی در طی فرآیند اسپرماتوژن شناخته می شوند و در مجاورت غشاء پایه لوله های اسپرم ساز قرار دارند (۱۱). این سلول ها با انجام تقسیم میتوز می توانند به دو اسپرماتوگونی As تقسیم شوند و جمعیت ذخیره ای خود را حفظ کنند یا با ایجاد دو اسپرماتوگونی (pair) تمايز را آغاز نمایند. حاصل تقسیمات میتوزی متوازی این سلول ها تولید سلول های A1-A4, Aal (aligned), Apr (aligned), AIn (Intermediate) اسپرماتوگونی بینایینی (Intermediate) و اسپرماتوگونی اولیه می باشد. به دنبال دو تقسیم میوزی متوازی، اسپرماتوسیت ثانویه و نهایتاً اسپرماتیدهای هاپلوتئیدی پدید می آیند. اسپرماتیدها در مرحله اسپرمیوژن دچار تغییرات پیچیده مورفولوژیکی و متراکم شدن هسته گشته و در نهایت اسپرم بالغ تولید می شود (۱۲-۱۴). پلاکتها قطعات کوچک سلولی بدون

گذشت ۳۵ روز (یک سیکل اسپرماتوژنر موش سوری) حیوانات آسان‌کشی شدند و بیضه سمت چپ خارج گشت.

**آماده‌سازی PRP:** PRP توسط سازمان انتقال خون ایران تهیه گردید. نمونه خون کامل از کاندیدای سالم تهیه گشت و در کیسه‌های حاوی محلول سیترات فسفات دکستروز آدنین به عنوان ماده ضد انعقادی نگهداری شد. PRP به روش سانتریفیوژ دو مرحله‌ای استخراج گردید (۲۶).

رنگ آمیزی پریودیک اسید شیف: پس از گذشت یک سیکل اسپرماتوژنر، بافت‌های بیضه سمت چپ سریعاً جدا شد و در فیکساتیو بوئن به مدت ۲۴ ساعت در دمای اتاق قرار گرفتند. آماده‌سازی بافتی شامل آب‌گیری با درصد بالارونده الكل، شفافسازی با گزیلول و قالب‌گیری با پارافین انجام شد. از قالب‌های پارافینی برای انجام رنگ آمیزی PAS برش‌هایی به ضخامت ۵ میکرون تهیه و روی لام‌های شیشه‌ای معمولی قرار گرفتند. پس از پارافین‌زدایی و آبدهی، اسلامیدها در اسید پریودیک ۱٪ به مدت ۵ دقیقه در دمای اتاق انکوبه شدند، پس از شستشو با آب جاری، به مدت ۱۵ دقیقه در شیف (سیگما آدریج، آلمان) انکوبه گشتند. از هماتوکسیلین مایر به عنوان رنگ افتراقی استفاده شد (۲۷). شمارش سلول‌های اسپرماتوگونی، اسپرماتوسیت اولیه، اسپرماتید گرد، اسپرماتید طویل، سرتولی، لیدیگ و میوئید به کمک مقاطع تهیه شده صورت گرفت. هم چنین به کمک نرم‌افزار Z Image اندازه‌گیری قطر خارجی، ضخامت اپی‌تلیوم زایای لوله‌های سینی فروس و غشای پایه از روی تصاویر تهیه شده انجام شد.

رنگ آمیزی آنیلین بلو: آنیلین بلو به طور انتخابی هیستون‌های غنی از لیزین را رنگ آمیزی می‌کند در نتیجه می‌تواند درصد اسپرمه‌های دارای هیستون اضافی را مشخص نماید. در ابتدا لام اسمیر از نمونه دم اپی‌دیدیم تهیه گشت، سپس لام‌ها در محلول گلوتارآلدهید به مدت ۳۰ دقیقه در دمای اتاق فیکس شدند. هر اسمیر با آنیلین بلو آبی ۵ درصد (مرک، آلمان) در اسید استیک ۴ درصد به مدت ۷ دقیقه رنگ آمیزی گشت (۲۸). حداقل ۲۰۰ اسپرم از هر نمونه و در نواحی مختلف هر لام با بزرگنمایی ۱۰۰× شمارش شد. این

فروس و تراکم کروماتین اسپرم موش سوری به دنبال آسیب پیچش/ واپیچش طناب بیضه مورد بررسی قرار گرفت.

### روش بررسی

#### حیوانات آزمایشگاهی

در این مطالعه از ۴۰ سر موش سوری (NMRI) نر، با وزن ۳۰-۲۵ گرم و سن ۵-۷ هفته استفاده شد. موش‌های سوری از مرکز تکثیر و نگهداری حیوانات آزمایشگاهی انستیتو پاستور ایران تهیه شدند و در شرایط استاندار آزمایشگاهی (چرخه تاریکی/ روشنایی ۱۲ ساعت، دمای ۲۲-۲۴ درجه سانتی‌گراد، رطوبت نسبی ۵۰ درصد و دسترسی آزاد به آب و غذا) نگهداری شدند. تمای مراحل آزمایش‌ها با رعایت دستورالعملهای ثبت شده در کمیته اخلاق دانشگاه علوم پزشکی تهران صورت گرفت. حیوانات به صورت تصادفی در چهار گروه به شرح زیر تقسیم شدند.

**گروه کنترل:** هیچ‌گونه جراحی در این گروه صورت نگرفت.

**گروه پیچش/ واپیچش طناب اسپرماتیک:** که طناب اسپرماتیک سمت چپ ۷۲۰ درجه در خلاف جهت عرقه‌های ساعت چرخانیده و پس از ۲ ساعت به حالت اولیه برگردانده شد. جراحی در شرایط استریل با القای بیهوشی توسط کتابخانه هیدروکلراید با دوز ۱۰۰ میلی‌گرم بر کیلوگرم و زایلazin با دوز ۱۰ میلی‌گرم بر کیلوگرم به صورت تک دوز داخل صفاقی انجام شد. پیچش یک طرفه بیضه با اعمال یک برش خط وسط در ناحیه کیسه بیضه آغاز گشت، بیضه سمت چپ ۷۲۰ درجه در خلاف جهت عرقه‌های ساعت چرخانده شد. برای حفظ این حالت به مدت ۲ ساعت، تونیکا آلبوژینه و دارتوس به یکدیگر بخیه شدند. بعد از ۲ ساعت، بیضه ایسکمیک ۷۲۰ درجه در جهت عرقه‌های ساعت چرخانیده شد و در کیسه بیضه قرار گرفت.

**گروه کنترل منفی:** در ابتدا عمل جراحی پیچش انجام شد، ۳۰ دقیقه قبل از جراحی واپیچش، ۱۰ میکرولیتر محیط کشت به داخل پارانشیم بیضه تزریق گشت.

**گروه درمان با PRP:** در ابتدا عمل جراحی پیچش انجام شد، ۳۰ دقیقه قبل از جراحی واپیچش، ۱۰ میکرولیتر PRP به داخل پارانشیم بیضه تزریق گشت (۲۵) (شکل ۱). پس از

زایا در تصاویر حاصله بهوضوح مشاهده گردید (شکل ۲). میانگین قطر و ضخامت اپیتلیوم زایای لوله‌های سمینی فروس به دنبال آسیب ایسکمی- ریپرفیوژن بهصورت معنی‌داری در مقایسه با گروه کنترل کاهش پیدا کرد مقایسه با گروه کنترل افزایش یافت ( $P<0.001$ ) (شکل A,B) (شکل C). در این گروه، میانگین ضخامت غشای پایه لوله‌های سمینی فروس نیز بهصورت معنی‌داری در مقایسه با گروه کنترل افزایش یافت ( $P<0.001$ ) (شکل C).

به دنبال درمان PRP، میانگین تعداد سلول‌های اسپرماتوگونی، اسپرماتوستیت اولیه، اسپرماتید گرد، اسپرماتید طویل، سرتولی، میوئید و نمره جانسون بهصورت معنی‌داری افزایش پیدا کرد ( $P<0.001$ )، در حالیکه میانگین تعداد سلول‌ها همچنان تفاوت معنی‌داری در مقایسه با گروه کنترل نشان دادند ( $P<0.001$ ). این بهبودی در میانگین تعداد سلول‌های سرتولی و میوئید تا گروه کنترل افزایش یافت (جدول ۱). به دنبال درمان با PRP افزایش ضخامت اپیتلیوم زایا، کاهش واکوئل‌های بافتی، انسجام و ساختار طبیعی لوله‌های سمینی فروس قابل رویت می‌باشد (شکل ۲). همچنین در میانگین قطر، ضخامت اپیتلیوم زایا و ضخامت غشای پایه لوله‌های سمینی فروس موش‌های تحت درمان با PRP در مقایسه با گروه پیچش/وابیچش بهبودی قابل توجهی حاصل گردید ( $P<0.001$ ) (شکل ۳).

**اثر PRP** بر تراکم کروماتین اسپرم به دنبال آسیب ناشی از پیچش/وابیچش طناب اسپرماتیک: پس از پیچش طناب اسپرماتیک میانگین درصد اسپرم‌های دارای هیستون اضافه بهصورت معنی‌داری در مقایسه با گروه کنترل افزایش یافت ( $P<0.001$ ). درمان با PRP منجر به بهبودی نسبی تراکم کروماتین گشت و در موش‌های درمان شده با PRP درصد اسپرم‌های دارای هیستون اضافی کاهش معنی‌داری در مقایسه با گروه پیچش/وابیچش بیضه نشان داد ( $P<0.001$ ). علی‌رغم این بهبودی، همچنان تفاوت معنی‌داری در مقایسه با گروه کنترل مشاهده گردید.

رنگ‌آمیزی به منظور تعیین درصد تراکم کروماتین غیر طبیعی اسپرم استفاده شد. اسپرم‌های نابلغ با هیستون بیش از حد به رنگ آبی تیره رنگ آمیزی می‌شوند در حالیکه اسپرم‌های آبی کم رنگ ساختار کروماتین طبیعی را نشان می‌دهند. در نتیجه از نسبت تعداد اسپرم‌های آبی تیره به تعداد کل اسپرم‌ها، درصد تراکم کروماتین غیر طبیعی اسپرم مشخص گشت.

### تجزیه و تحلیل آماری

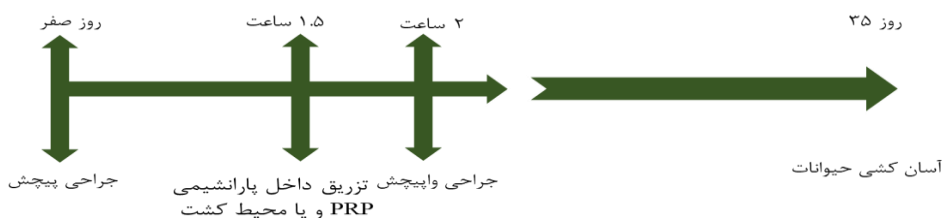
تجزیه و تحلیل داده‌ها با استفاده از نرم‌افزار version 16 SPSS انجام شد. همه داده‌ها بهصورت میانگین  $\pm$  انحراف معیار گزارش شدند. ارزیابی نرمال بودن توزیع داده‌ها با آزمون کولموگروف اسمیرنوف صورت گرفت. آنالیز واریانس یکطرفه (ANOVA) و سپس آزمون توکی برای مقایسات بین گروهی انجام شد و سطح معنی‌دار بودن بین داده‌ها  $P \leq 0.05$  گزارش گردید.

### ملاحظات اخلاقی

این تحقیق بخشی از طرح تحقیقاتی است که توسط دانشکده پزشکی دانشگاه علوم پزشکی تهران تایید شده است (کد اخلاق IR.TUMS.AEC.1401.016).

## نتایج

**اثر PRP** بر ساختار هیستولوژیک بیضه به دنبال آسیب ناشی از پیچش/وابیچش طناب اسپرماتیک میانگین تعداد سلول‌های اسپرماتوگونی، اسپرماتوستیت اولیه، اسپرماتید گرد، اسپرماتید طویل، سرتولی، لیدیگ و میوئید به دنبال آسیب ایسکمی-ریپرفیوژن بهصورت معنی‌داری در مقایسه با گروه کنترل کاهش پیدا کرد ( $P<0.001$ ). همچنین، لوله‌های سمینی فروس بر اساس میانگین نمره جانسون اسکور درجه‌بندی شدند تا سطح اسپرم‌زایی در هر گروه مشخص شود. نمره جانسون به دنبال آسیب ایسکمی- ریپرفیوژن بهصورت معنی‌داری در مقایسه با گروه کنترل کاهش پیدا کرد ( $P<0.001$ ). علاوه بر این آتروفی و واکوئله شدن لوله‌های سمینی فروس، جداشدن غشا پایه و آپوپتوز سلول‌های



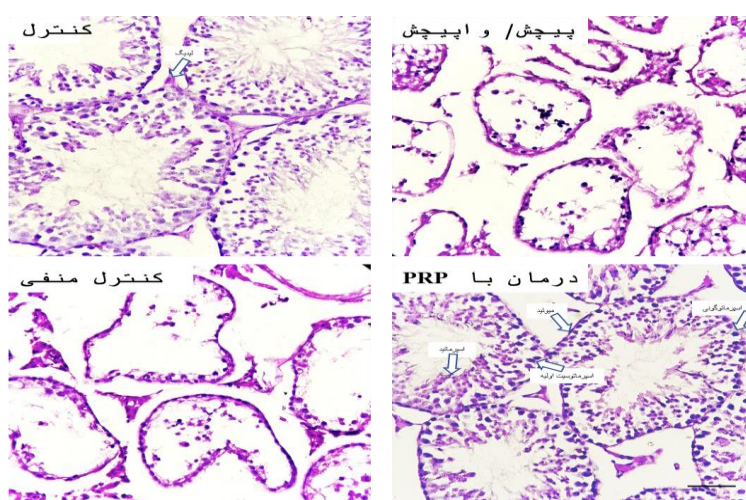
شکل ۱: تصویر شماتیک از طراحی مطالعه، زمان جراحی پیچش/اپیچش طناب اسپرماتیک و تزریق PRP

جدول ۱: میانگین تعداد سلول‌های لوله‌های سمینی فروس در گروه‌های مختلف. داده‌ها به صورت میانگین $\pm$ انحراف معیار گزارش شدند.

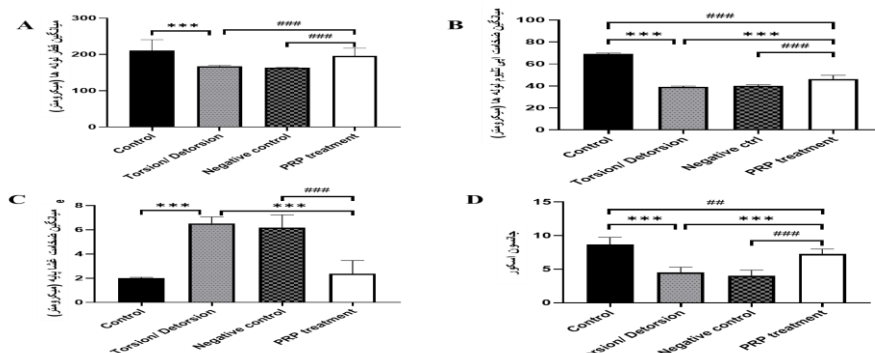
| سلول              | گروه | کنترل             | تورشن / دتورشن    | کنترل منفی        | درمان با PRP      |
|-------------------|------|-------------------|-------------------|-------------------|-------------------|
| اسپرماتوگونی      |      | ۲۱/۶۳ $\pm$ ۱/۳۴* | ۱۲/۱۰ $\pm$ ۰/۹۳  | ۱۳/۰۰ $\pm$ ۱/۵۶# | ۱۸/۲۵ $\pm$ ۱/۷۶* |
| اسپرماتوسیت اولیه |      | ۴۲/۸۹ $\pm$ ۱/۳۷* | ۲۳/۰۵ $\pm$ ۰/۹۷# | ۲۲/۰۵ $\pm$ ۲/۶۵# | ۲۷/۲۵ $\pm$ ۱/۲۸  |
| اسپرماتید گرد     |      | ۶۷/۹۱ $\pm$ ۱/۴۴* | ۲۹/۰۸ $\pm$ ۱/۱۶# | ۲۷/۴۱ $\pm$ ۱/۹۷# | ۵۰/۹۱ $\pm$ ۱/۱۶  |
| اسپرماتید طویل    |      | ۳۱/۵۰ $\pm$ ۱/۶۲* | ۱۳/۱۶ $\pm$ ۰/۹۳  | ۱۴/۰۸ $\pm$ ۰/۹۰# | ۲۶/۵۸ $\pm$ ۱/۱۶* |
| سرتولی            |      | ۱۲/۷۳ $\pm$ ۱/۰۴* | ۸/۴۷ $\pm$ ۱/۰۷#  | ۹/۳۶ $\pm$ ۰/۹۵#  | ۱۲/۲۵ $\pm$ ۰/۹۶  |
| لیدیگ             |      | ۱۲/۷۳ $\pm$ ۱/۱۴* | ۹/۵۷ $\pm$ ۱/۰۷   | ۸/۲۵ $\pm$ ۱/۰۲#  | ۱۰/۰۸ $\pm$ ۱/۱۶  |
| میوئید            |      | ۱۲/۹۱ $\pm$ ۰/۷۹* | ۱۱/۰۰ $\pm$ ۰/۸۵# | ۱۱/۴۱ $\pm$ ۰/۷۹# | ۱۲/۵۸ $\pm$ ۰/۹۰* |

\*تفاوت معنی دار در مقایسه با گروه پیچش/اپیچش (P<0.001).

#تفاوت معنی دار در مقایسه با گروه درمان با PRP (P<0.001) بجز برای سلول‌های لیدیگ (P<0.01).



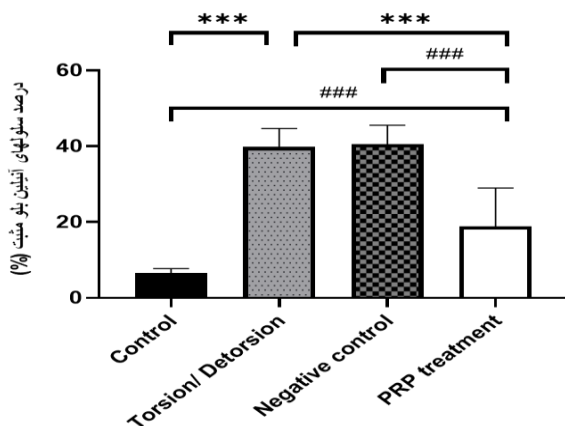
شکل ۲: تصاویر تهیه شده از مقاطع بافت شناسی لوله‌های سمینی فروس در گروه‌های مختلف. آرایش منظم سلول‌های زایا و ساختار طبیعی لوله‌های سمینی فروس در گروه کنترل مشاهده می‌گردد. در گروه پیچش/اپیچش و کنترل منفی، لوله‌های سمینی فروس آتروفی گشته، سلول‌های زایا دچار آپوپتوز شده و جداسدگی غشا پایه رویت گردید. بهبودی قابل توجهی در ساختار اپیتیلیوم زایای لوله‌ها به دنبال تزریق PRP مشاهده گردید. رنگ آمیزی پریودیک اسید شیف و بزرگنمایی X400.



شکل ۳: نمودارهای مربوط به میانگین قطر، ضخامت اپیتلیوم لوله‌های سمینی فروس، ضخامت غشا پایه و نمره جانسون در گروه‌های مختلف.

\*\*\*: تفاوت معنی‌دار در مقایسه با گروه پیچش/ واپیچش.  $p<0.001$

###: تفاوت معنی‌دار در مقایسه با گروه درمان با PRP و ##: تفاوت معنی‌دار در مقایسه با گروه درمان با PRP  $p<0.01$



شکل ۴: میانگین درصد اسپرم‌های دارای هیستون اضافه در گروه‌های مختلف. میانگین درصد اسپرم‌های دارای هیستون باقی‌مانده در گروه درمان با PRP به صورت معنی‌داری در مقایسه با گروه پیچش/ واپیچش کاهش یافت.

###: تفاوت معنی‌دار در مقایسه با گروه پیچش/ واپیچش.  $p<0.001$

اکسیداتیو، تولید رادیکال‌های آزاد، افزایش سطح ROS، پراکسیداسیون لیپیدی، افزایش سیتوکین‌های التهابی و آسیب به رگ‌های خونی می‌گردد (۳۱-۳۳). به عبارتی آسیب ایسکمی-ریپرفیوژن ناشی از پیچش/ واپیچش طناب اسپرماتیک منجر به اختلال در فرآیند اسپرماتوژن، آپوپتوز در سلول‌های زایا و آتروفی بیضه می‌شود. اگرچه درمان قطعی برای ایسکمی-ریپرفیوژن وجود ندارد، اما مداخلاتی نظری جلوگیری از تولید رادیکال‌های آزاد، استفاده از مهارکننده‌های آنزیم تبدیل کننده آنزیوتانسین و مصرف داروهایی نظیر عوامل ضد التهابی، مورفین و استاتین‌ها برای کاهش عوارض این

## بحث

پیج خوردنگی بیضه یک بیماری حاد پیشرونده است که عموماً نوزادان پسر، کودکان و نوجوانان را درگیر می‌کند. این اختلال ناشی از چرخش طناب اسپرماتیک می‌باشد که منجر به اختلال در جریان خونرسانی، هایپوکسی و ایسکمی بیضه می‌گردد (۲۹). تشخیص زودهنگام و انجام جراحی واپیچش، برای بازگرداندن جریان خون، جلوگیری از نکروز و از دست دادن عملکرد بیضه ضروری است (۳۰). بازگشت جریان خون پس از انجام جراحی واپیچش بیضه، منجر به القا استرس

هیچگونه اثر نامطلوبی از PRP بر باروری مردان گزارش نگردیده است (۴۱). بنابراین، ما در مطالعه اخیر برای اولین بار اثرات حفاظتی تزریق داخل بیضه PRP را در مقابل آسیب ایسکمی- ریپرفیوژن بیضه موش سوری مورد ارزیابی قرار دادیم. Gazia و همکاران اثر محافظتی PRP در برابر آسیب ایسکمی- ریپرفیوژن بیضه رت را مورد مطالعه قرار دادند. مشابه با یافته‌های مطالعه ما بهبود ساختار بافتی و مورفوЛОژی لوله‌های سینی فروس و افزایش میانگین تعداد سلول‌های اسپرماتوزنیک پس از تزریق داخل بافتی PRP گزارش گردید. علاوه بر این در این مطالعه بهبودی در سطح آنزیمهای آنتی‌اسیدانی و کاهش استرس اکسیداتیو به دنبال درمان با PRP مشاهده گشت. PRP با کاهش سطح گونه‌های اکسیژن فعال، آسیب بیضه را کاهش می‌دهد (۴۲). علاوه بر این در سال ۲۰۱۰، پس از اعمال یاپیچش بیضه در رت از Varenicline به عنوان یک سرکوب‌گر سیستم ایمنی مرکزی استفاده گشت و نتایج نشان داد که Varenicline نه تنها آسیب ایسکمی- ریپرفیوژن بیضه را کاهش می‌دهد بلکه از آتروفی و فیبروز طولانی مدت بیضه را ناشی از یاپیچش/ واپیچش مصرف عواملی است که بتوانند نقش ضد التهابی و آنتی‌اسیدانی داشته باشند و میزان استرس اکسیداتیو را کاهش دهند. نتایج مطالعه ما کاهش درصد اسپرم‌ها با هیستون اضافی را به دنبال تزریق PRP نشان دادند، Yan و همکاران از PRP در محیط فریز اسپرم استفاده کردند که نتایج این مطالعه بهبود عملکرد میتوکندری و ساختار کروماتین اسپرم را هم راستا با یافته‌های ما علاوه بر بهبود پارامترهای اسپرمی گزارش کرد. مطالعات نشان داده‌اند که تعاملات بین فاکتورهای رشد از طریق ایجاد تعادل بین تکثیر و تمایز سلول‌های زایا در تنظیم بقا و زنده مانی این سلول‌ها نقش دارند (۴۴). به عنوان مثال، فاکتور رشد فیبروبلاستی منجر افزایش تقسیمات میوزی سلول‌های زایای تخدمانی گشت (۴۵). هم چنین فاکتور رشد تغییر شکل دهنده بتا در تنظیم تقسیمات میوزی اسپرماتوسیت‌ها دخیل است. در مطالعه دهقانی و همکاران گزارش گردید فاکتورهای

اختلال پیشنهاد می‌شود (۳۴). نتایج مطالعات مختلف نشان می‌دهد که مصرف آنتی اکسیدان‌ها و ترکیبات مهارکننده رادیکال‌های آزاد اثرات محافظتی بر آسیب ایسکمی- ریپرفیوژن دارند (۳۳, ۳۵, ۳۶). در این مطالعه از یاپیچش بیضه ۲ ساعته با چرخش ۷۲۰ درجه در خلاف جهت عقربه‌های ساعت برای ایجاد یک آسیب خفیف تا متوسط در بیضه چپ ایجاد گشت، نتایج مطالعه‌ی حاضر کاهش قابل توجه سلول‌های لوله‌های سینی فروس و کاهش نمره جانسون را نشان داد. هم راستا با یافته‌های ما، نتایج Shih و همکاران در سال ۲۰۲۱ نشان داد که یاپیچش بیضه منجر به آسیب غشا داخلی میتوکندری، کاهش بیان پروتئین‌های آن و در نتیجه اختلال در عملکرد تنفس سلولی و زنده مانی سلول‌های زایا می‌گردد (۳۷). هم‌چنین افزایش سطح FSH, LH و کاهش تولید تستوسترون و نمره جانسون در یافته‌های مطالعه Kutluhan و همکاران در سال ۲۰۲۱ به دنبال ایجاد یاپیچش/ واپیچش بیضه رت گزارش گردید (۳۸) که هم راستا با گزارشات مطالعه ما در کاهش میانگین تعداد سلول‌های لیدیگ و نمره جانسون در گروه Samy پیچش/ واپیچش مدل موش سوری می‌باشد. یافته‌های آلفا و کاهش عملکرد کاتالاز و گلوتاتیون پراکسیداز را نشان دادند (۲۰). به عبارتی یاپیچش واپیچش طناب اسپرماتیک از طریق القا استرس اکسیداتیو و کاهش عملکرد آنزیمهای آنتی‌اسیدانی منجر به آپوپتوز سلول‌های زایا و آتروفی لوله‌های سینی فروس می‌گردد که تصاویر بافتی مطالعه حاضر تاییدی بر این یافته است. PRP به دلیل خواص درمانی خود به عنوان یک راهکار بیولوژیکی قوی در سال‌های اخیر برای ترمیم بافت‌ها مورد توجه قرار گرفته است. اعتقاد بر این است که سایتوکاین‌ها و فاکتورهای رشد موجود در گرانولهای پلاکتی منجر به افزایش تکثیر و تمایز سلولی گشته و در نتیجه تاثیر بالقوه‌ای در ترمیم بافت دارند (۳۹, ۴۰). PRP یک آنتی‌اسیدان قوی است که از آسیب ایسکمی- ریپرفیوژن در مغز، قلب و کلیه نیز محافظت می‌کند. علاوه بر این تا کنون

گرانولهای پلاکتی منجر به کاهش استرس اکسیداتیو و آپوپتوز سلولهای زایا و درنهایت پیشبرد اسپرماتوزن می‌گردد. پیچش طناب اسپرماتیک از اختلالات جدی در زمینه باروری مردان است که تا کنون پروتکل درمانی قطعی برای آن ارائه نشده است. استفاده از PRP به عنوان محصول خونی اتلوج از فرد در درمان این اختلال می‌تواند کمک کننده باشد. علی‌رغم اینکه نقش PRP در درمان نایاروری مردان نتایج چشمگیری به همراه داشته است اما پتانسیل درمانی و مکانیسم عملکرد آن مشخص نشده است.

### سپاس‌گزاری

مولفین مراتب سپاس خود را از معاونت محترم تحصیلات تکمیلی دانشکده پزشکی دانشگاه علوم پزشکی تهران جهت حمایت از این تحقیق ابراز می‌دارند. این مقاله از طرح تحقیقاتی مقطع کارشناسی ارشد به راهنمایی خانم دکتر فرناز خدیوی و خانم نگارش محیا رمش استخراج گردیده است.  
**حامي مالى:** مطالعه حاضر مستخرج از طرح تحقیقاتی مصوب در دانشکده پزشکی دانشگاه علوم پزشکی تهران است. منابع مالی این مطالعه بر اساس مقررات مربوط به طرح پایان‌نامه تأمین شده است.  
**تعارض در منافع:** وجود ندارد.

رشد پلاکتی منجر به رهایش سریع‌تر اسپرم در لوله‌های سینی‌فروس می‌گردد، هم‌چنین پلاکت‌ها به دلیل دارا بودن عوامل دخیل در رگ زایی باعث اصلاح الگوی خونرسانی به بیضه شده و افزایش توان آنتی اکسیدانی بافت را به همراه دارد (۲۱). در این مطالعه به دنبال مصرف PRP بعد از القا مدل آزواسپرمی با بوسوفان افزایش تعداد سلولهای رده اسپرماتوزنیک و بهبود پارامترهای اسپرم نیز گزارش گردید. نتایج مطالعه ما نشان داد که بعد از تزریق داخل بیضه PRP پارامترهای اسپرماتوزن و درصد اسپرم‌های دارای هیستون اضافه هم‌چنان تفاوت معنی‌داری در مقایسه با گروه کنترل نشان دادند، بنابراین بررسی در زمان‌های طولانی‌تر و تزریق مکرر PRP یا افزایش دوز آن در مطالعات آینده پیشنهاد می‌گردد. با توجه به وجود محدودیت‌های مطالعه اخیر، اندازه‌گیری غلظت فاکتورهای رشد پلاکتی، ارزیابی آنزیم‌های آنتی اکسیدانی، بررسی دقیق بیان ژن‌ها و پروتئین‌های درگیر در مسیرهای آپوپتوز برای شناخت دیگر اثرات درمانی PRP در بررسی‌های آینده کمک کننده است.

### نتیجه‌گیری

با توجه نتایج این مطالعه و پژوهش‌های پیشین، حضور فاکتورهای رشد متعدد، پروتئین‌ها و سیتوکین‌های ترشحی

### References:

- 1-Mansbach J, Forbes P, Peters C. *Testicular Torsion and Risk Factors for Orchiectomy*. J Adolescent Health 2004; 34(2): 143-4.
- 2-Sheth KR, Keays M, Grimsby GM, Granberg CF, Menon VS, DaJusta DG, et al. *Diagnosing Testicular Torsion Before Urological Consultation and Imaging: Validation of the TWIST Score*. J Urol 2016; 195(6): 1870-6.
- 3-Hamed GM, Ahmed RM, Emara MM, Mahmoud MH. *Effect of Erythropoietin on Experimental*

- Unilateral Testicular Torsion Detorsion in Rat Model.***  
Life Sci J 2011; 8(2): 405-12.
- 4-Cox AM, Patel H, Gelister J. *Testicular Torsion*. British Journal of Hospital Medicine 2012; 73(sup3): C34-6.
- 5-Afolabi O, Alabi B, Omobowale T, Oluranti O, Iwalewa O. *Cysteamine Mitigates Torsion/Detorsion-Induced Reperfusion Injury Via Inhibition of Apoptosis. Oxidative Stress and Inflammatory Responses in Experimental Rat Model*. Andrologia 2022; 54(1): e14243.

- 6-Hsiao CH, Ji AT, Chang CC, Chien MH, Lee LM, Ho JH. *Mesenchymal Stem Cells Restore the Sperm Motility from Testicular Torsion-Detorsion Injury by Regulation of Glucose Metabolism in Sperm.* Stem Cell Res Ther 2019; 10(1): 270.
- 7-Ahmed FA, Whelan J, Jequier AM, Cummins JM. *Torsion-Induced Injury in Rat Testes Does Not Affect Mitochondrial Respiration or the Accumulation of Mitochondrial Mutations.* Int J Androl 2000; 23(6): 347-56.
- 8-Lysiak JJ, Turner SD, Nguyen QA, Singbartl K, Ley K, Turner TT. *Essential Role of Neutrophils in Germ Cell-Specific Apoptosis Following Ischemia/Reperfusion Injury of the Mouse Testis.* Biol Reprod 2001; 65(3): 718-25.
- 9-Zhong L, Yang M, Zou X, Du T, Xu H, Sun J. *Human Umbilical Cord Multipotent Mesenchymal Stromal Cells Alleviate Acute Ischemia-Reperfusion Injury of Spermatogenic Cells Via Reducing Inflammatory Response and Oxidative Stress.* Stem Cell Res Ther 2020; 11(1): 294.
- 10-Griswold MD. *Spermatogenesis: The Commitment to Meiosis.* Physiol Rev 2016; 96(1): 1-17.
- 11-Nakata H. *Morphology of Mouse Seminiferous Tubules.* Anat Sci Int 2019; 94(1): 1-10.
- 12-Brinster RL, Nagano M. *Spermatogonial Stem Cell Transplantation, Cryopreservation and Culture.* Semin Cell Dev Biol 1998; 9(4): 401-9.
- 13-Kolasa A, Misiakiewicz K, Marchlewicz M, Wiszniewska B. *The Generation of Spermatogonial Stem Cells and Spermatogonia in Mammals.* Reprod biol 2012; 12(1): 5-23.
- 14-Dym M, Kokkinaki M, He Z. *Spermatogonial Stem Cells: Mouse and Human Comparisons* Birth Defects Res C Embryo Today 2009; 87(1): 27-34.
- 15-Coppinger JA, Cagney G, Toomey S, Kislinger T, Belton O, McRedmond JP, et al. *Characterization of the Proteins Released from Activated Platelets Leads to Localization of Novel Platelet Proteins in Human Atherosclerotic Lesions.* Blood 2004; 103(6): 2096-104.
- 16-Dhurat R, Sukesh M. *Principles and Methods of Preparation of Platelet-Rich Plasma: A Review and Author's Perspective.* J Cutan Aesthet Surg 2014; 7(4): 189-97.
- 17-Raja VS, Naidu EM. *Platelet-Rich Fibrin: Evolution of a Second-Generation Platelet Concentrate.* Indian J Dent Res 2008; 19(1): 42-6.
- 18-Boswell SG, Cole BJ, Sundman EA, Karas V, Fortier LA. *Platelet-Rich Plasma: A Milieu of Bioactive Factors.* Arthroscopy 2012; 28(3): 429-39.
- 19-Martins RP, Hartmann DD, de Moraes JP, Soares FA, Puntel GO. *Platelet-Rich Plasma Reduces the Oxidative Damage Determined by a Skeletal Muscle Contusion in Rats.* Platelets 2016; 27(8): 784-90.
- 20-Samy A, El-Adl M, Rezk S, Marghani B, Eldomany W, Eldesoky MA. *The Potential Protective and Therapeutic Effects of Platelet-Rich Plasma on Ischemia/Reperfusion Injury Following Experimental Torsion/Detorsion of Testis in the Albino Rat Model.* Life Sci 2020; 256: 117982.
- 21-Dehghani F, Sotoode N, Bordbar H, Panjeshahin MR, Karbalay-Doust S. *The Use of Platelet-Rich Plasma (PRP) to Improve Structural Impairment of*

- Rat Testis Induced by Busulfan.** Platelets 2019; 30(4): 513-20.
- 22-** Aghajanova L, Houshdaran S, Balayan S, Manvelyan E, Irwin JC, Huddleston HG, et al. **In Vitro Evidence That Platelet-Rich Plasma Stimulates Cellular Processes Involved In Endometrial Regeneration.** J Assist Reprod Genet 2018; 35(5): 757-70.
- 23-** Tobita M, Tajima S, Mizuno H. **Adipose Tissue-Derived Mesenchymal Stem Cells and Platelet-Rich Plasma: Stem Cell Transplantation Methods that Enhance Stemness.** Stem Cell Res Ther 2015; 6: 215.
- 24-** Bader R, Ibrahim JN, Moussa M, Mourad A, Azoury J, Azoury J, et al. **In Vitro Effect of Autologous Platelet-Rich Plasma on H<sub>2</sub>O<sub>2</sub>-Induced Oxidative Stress in Human Spermatozoa.** Andrology 2020; 8(1): 191-200.
- 25-** Abdollahifar MA, Azad N, Faraji Sani M, Raoofi A, Abdi S, Aliaghaei A, et al. **Impaired Spermatogenesis Caused by Busulfan is Partially Ameliorated by Treatment with Conditioned Medium of Adipose Tissue Derived Mesenchymal Stem Cells.** Biotech Histochem 2022; 97(2): 107-17.
- 26-** Khadivi F, Koruji M, Akbari M, Jabari A, Talebi A, Ashouri Movassagh S, et al. **Application of Platelet-Rich Plasma (PRP) Improves Self-Renewal of Human Spermatogonial Stem Cells in Two-Dimensional and Three-Dimensional Culture Systems.** Acta Histochem 2020; 122(8): 151627.
- 27-** Ahmed EA, Rooij DG. **Staging of Mouse Seminiferous Tubule Cross-Sections.** Methods Mol Biol 2009; 558: 263-77.
- 28-** Hammadeh ME, Zeginiadov T, Rosenbaum P, Georg T, Schmidt W, Strehler E. **Predictive Value of Sperm Chromatin Condensation (Aniline Blue Staining) in the Assessment of Male Fertility.** Arch Androl 2001; 46(2): 99-104.
- 29-** Günther P, Rübben I. **The Acute Scrotum in Childhood and Adolescence.** Deutsch Ärztebl Int 2012; 109(25): 449-57.
- 30-** Lian BS, Ong CC, Chiang LW, Rai R, Nah SA. **Factors Predicting Testicular Atrophy after Testicular Salvage Following Torsion.** Eur J Pediatr Surg 2016; 26(1): 17-21.
- 31-** Carden DL, Granger DN. **Pathophysiology of Ischaemia-Reperfusion Injury.** J pathology 2000; 190(3): 255-66.
- 32-** Chi KK, Zhang WH, Wang GC, Chen Z, He W, Wang SG, et al. **Comparison of Intraperitoneal and Intraepididymal Quercetin for The Prevention of Testicular Torsion/Detorsion-Induced Injury.** Urology 2017; 99: 106-11.
- 33-** Wei SM, Yan ZZ, Zhou J. **Protective Effect of Rutin on Testicular Ischemia-Reperfusion Injury.** J Pediatr Surg 2011; 46(7): 1419-24.
- 34-** Oldenburg O, Qin Q, Krieg T, Yang XM, Philipp S, Critz SD, et al. **Bradykinin Induces Mitochondrial ROS Generation Via NO, Cgmp, PKG, and Mitokatp Channel Opening and Leads to Cardioprotection.** Am J Physiol Heart Circ Physiol 2004; 286(1): H468-H476.
- 35-** Unal D, Yeni E, Erel O, Bitiren M, Vural H. **Antioxidative Effects of Exogenous Nitric Oxide Versus Antioxidant Vitamins on Renal Ischemia Reperfusion Injury.** Urol Res 2002; 30(3): 190-94.

- 36- Dokmeci D, Kanter M, Inan M, Aydogdu N, Basaran UN, Yalcin O, et al. **Protective Effects of Ibuprofen on Testicular Torsion/Detorsion-Induced Ischemia/Reperfusion Injury in Rats.** Archives of Toxicology 2007; 81(9): 655-63.
- 37- Shih HJ, Chang CY, Huang IT, Tsai PS, Han CL, Huang CJ. **Testicular Torsion-Detorsion Causes Dysfunction of Mitochondrial Oxidative Phosphorylation.** Andrology 2021; 9(6): 1902-10.
- 38- Kutluhan MA, Özsoy E, Şahin A, Ürkmez A, Topaktaş R, Toprak T, Gümrükçü G, Verit A. **Effects of Platelet-Rich Plasma on Spermatogenesis and Hormone Production in an Experimental Testicular Torsion Model.** Andrology 2021; 9(1): 407-13.
- 39- Dogan C, Halici Z, Topcu A, Cadirci E, Karakus E, Bayir Y, et al. **Effects of Amlodipine on Ischaemia/Reperfusion Injury in the Rat Testis.** Andrologia 2016; 48(4): 441-52.
- 40- Agarwal A, Said TM. **Oxidative Stress, DNA Damage and Apoptosis in Male Infertility: A Clinical Approach.** BJU Int 2005; 95(4): 503-7.
- 41- Salem N, Helmi N, Assaf N. **Renoprotective Effect of Platelet-Rich Plasma on Cisplatin-Induced Nephrotoxicity in Rats.** Oxid Med Cell Longev 2018; 2018: 9658230.
- 42- Gazia MA. **Histological Study on the Possible Ameliorating Effect of Platelet Rich Plasma on Ischemia/Reperfusion Injury in Testicular Torsion Model in Adult Albino Rat.** Egyptian J Histology 2020; 43(2): 614-29.
- 43- Ho C, Zee RS, Omidi N, Bayne C, Hester A, Mukherjee E, et al. **Varenicline Limits Ischemia Reperfusion Injury Following Testicular Torsion in Mice.** J Pediat Urol 2021; 17(5): 631.e1-631.e8.
- 44- Feng CW, Bowles J, Koopman P. **Control of Mammalian Germ Cell Entry Into Meiosis.** Mol Cell Endocrinol 2014; 382(1): 488-97.
- 45- He B, Lin J, Li J, Mi Y, Zeng W, Zhang C. **Basic Fibroblast Growth Factor Suppresses Meiosis and Promotes Mitosis of Ovarian Germ Cells in Embryonic Chickens.** Gen Comp Endocrinol 2012; 176(2): 173-81.

## Evaluation of the Protective Effect of Human Platelet-Rich Plasma on Spermatogenesis and Sperm Chromatin Condensation Following Ischemia-Reperfusion Injury Due to Spermatic Cord Torsion in Mice

Mahya Ramesh<sup>1</sup>, Farnaz Khadivi<sup>\*2</sup>

### Original Article

**Introduction:** Torsion of spermatic cord induces ischemic-reperfusion injury which leads to testicular dysfunction, apoptosis of germ cells, ROS generation and infertility. Platelet-rich plasma (PRP) is a rich source of growth factors and anti-inflammatory cytokines. In this study, the effects of PRP on spermatogenesis and sperm chromatin condensation after ischemia-reperfusion injury were evaluated.

**Methods:** Forty adult male mice were procured in the study. Control group, torsion/ detorsion group, negative control group: torsion/ detorsion surgery with intra testicular injection of culture medium, treatment group: torsion/ detorsion surgery with intra testicular injection of PRP. After one cycle of spermatogenesis, histomorphometric evaluation was performed by PAS staining and sperm chromatin condensation was assessed by aniline blue staining. Data was analyzed by using SPSS Statistics and ANOVA followed by Tukey test.

**Results:** The mean number of spermatogenic cells, Sertoli, Leydig, Myoid, Johnson score and mean diameter and thickness of germinal epithelium were significantly decreased following ischemia-reperfusion injury. Mean thickness of seminiferous tubules basement membrane as well as sperm percentage with residual histone increased after ischemia-reperfusion injury ( $P <0.001$ ). After PRP treatment, there was a significant improvement in the histological structure of the tubules, cell viability, and sperm chromatin condensation ( $P <0.001$ ). While, a significant difference was observed in comparison with control group.

**Conclusion:** PRP can partially ameliorate the complications of ischemia-reperfusion injury through its growth factors and anti-inflammatory cytokines involved in angiogenesis and antioxidant activity.

**Keywords:** Spermatic cord torsion, Platelet-rich plasma, Spermatogenesis, chromatin.

**Citation:** Ramesh M, Khadivi F. Evaluation of the Protective Effect of Human Platelet-Rich Plasma on Spermatogenesis and Sperm Chromatin Condensation Following Ischemia-Reperfusion Injury Due to Spermatic Cord Torsion in Mice J Shahid Sadoughi Uni Med Sci 2023; 30(12): 4211-22.

<sup>1</sup>Department of Anatomy, School of Medicine, Tehran University of Medical Sciences, Tehran, Iran.

<sup>2</sup>Department of Anatomy, School of Medicine, Shahrekord University of Medical Sciences, Shahrekord, Iran.

\*Corresponding author: Tel: 09120461272, email: farnazkhadivi031@gmail.com